

生殖泌尿影像学

Diagnosis and differentiation of renal angiomyolipomas

WANG Tian-li , YU Shu-kui , TAN Jin-ting

(Department of Radiology , Peking University Third Hospital , Beijing 100083 , China)

[Abstract] Objective To investigate the features and characteristics of the renal angiomyolipoma(AML) in medical images , to improve the accurate rate of diagnosis for renal AML. **Methods** Sixty-six cases with AML were all examined by CT(plain scan and enhanced scan) and US , 35 cases were performed with intravenous pyelography(IVP) , 14 cases by MRI , and 10 cases were examined with renal arteriography. **Results** Of 66 cases with AML , 43 cases in the right kidney , and 23 cases in the left kidney. Multiple lesions of single kidney were found in 10 cases , multiple lesions of the bilateral kidneys in 12 cases , multiple giant AML of the bilateral kidneys in one case. The AML which contained the less fat in 18 cases (27%) , and contained more fat in 48 cases (73%). Haemorrhage of AML in 3 cases. Intravenous pyelography(IVP) showed lower density in the bigger AML because of containing rich fat in tumor in two cases. Sixty-four cases with AML were accurately diagnosed by CT , 13 cases by MRI. Selective renal angiography can find distortion and abnormality dilatation of vessels. 2 cases were misdiagnosed as renal carcinoma because of without detectable fat. **Conclusion** CT is the best imaging method for diagnosing AML , and it is helpful to combined US and MRI when necessary.

[Key words] Renal angiomyolipoma ; Tomography , X-ray computed ; Diagnosis

肾血管平滑肌脂肪瘤影像学诊断及鉴别

王田力¹ ,于书奎² ,谭劲挺³

(1. 北京大学第三医院放射科 ,北京 100083 ;2. 内蒙古宁城县医院放射科 ;3. 广西环江县医院放射科)

[摘 要] 目的 探讨肾脏血管平滑肌脂肪瘤影像学(AML)征象特点与鉴别。方法 选择征象典型 ,部分经手术病理证实 AML 66 例。全组病例均行 B 超及 CT 平扫及增强检查 ,35 例 KUB 和 IVP 检查 ,14 例 MRI 扫描 ,10 例血管造影。结果 66 例 AML 中 ,右肾 43 例 ,左肾 23 例。单肾多发 10 例 ,双肾多发 12 例 ,双肾巨大弥漫性 AML 1 例。少脂肪 AML 18 例 (27%) ,多脂肪者 48 例 (73%) ,AML 出血 3 例。 IVP 显示肾盏、肾盂形态、位置异常 8 例 ,多脂肪 AML 显示病变区呈低密度 2 例。 CT 征象典型 60 例 ,经薄扫及螺旋薄层重建后明确诊断 4 例 ,误诊肾癌 2 例。 2 例自发性出血。 MRI 检查 14 例 ,1 例可疑肾癌 ,血管造影 10 例 ,AML 实质区显示扭曲、扩张血管。结论 在诊断 AML 中 CT 可作为首选方法。 US 及 MRI 对鉴别诊断有着重要的作用。

[关键词] 肾血管平滑肌脂肪瘤 ; 体层摄影术 ,X 线计算机 ; 诊断

[中图分类号] R737.1 ; R445 [文献标识码] A [文章编号] 1003-3289(2004)01-0108-03

肾血管平滑肌脂肪瘤(angiomyolipoma ,AML)是肾脏最常见的良性肿瘤。笔者收集自 1997 年 6 月 -2002 年 8 月经影像学检查征象典型 ,部分经手术、病理证实资料完整 AML 66 例 ,结合病理学特点对其影像学征象作回顾性分析 ,以提高对本病影像学诊断的认识。

1 材料和方法

本组 66 例 ,其中男 26 例 ,女 40 例。年龄 21 ~ 71 岁 ,平均 47 岁。主要症状 腰部不适 ,血尿。体检发现 26 例。 6 例扪及包块 ,其中 1 例双侧包块。肿瘤自发性破裂出血 3 例。全组病例均行 CT 扫描和 B 超检查 ,35 例 KUB 和 IVP 检查 ,14 例 MRI 扫描 ,10 例血管造影检查。手术治疗 10 例。

2 结果

2.1 KUB 和 IVP 检查 本组 35 例 KUB 和 IVP 检查。 KUB 发现肾影异常 5 例 ,表现为患肾局限性增大 ,边缘轮廓突出。 2 例明显多脂肪 AML 显示病变处密度减低。 IVP 显示肾盏、肾盂形态、位置异常 6 例 ,可疑 2 例 表现为病变处肾盏、肾盂受压狭窄、移位 ,均未见破坏征象。显示肾影增大及局限性轮廓突出 8 例 ,多脂肪 AML 显示病变区呈低密度。

2.2 CT 扫描

2.2.1 病变部位 66 例 AML 中 ,右肾 43 例 ,左肾 23 例。单发病变 42 例 ,单肾多发 10 例 ,双肾多发 12 例。病变 <2 cm 者 48 例 (75%) ,2~5 cm 者 10 例 (16%) ,≥5 cm 者 6 例 (9%)。病变位于肾皮质及肾被膜下 41 例 (64%) ,明显向肾外突出 12 例 (19%) ,双肾巨大弥漫性 1 例 (1.6%)。

[作者简介] 王田力 (1954-) 男 ,北京人 ,硕士 ,副教授。

[收稿日期] 2003-07-20



图 1 CT 平扫示左肾上级前部不规则结节样病变,密度较高欠均匀,向外突出



图 2 与图 1 同一病例,CT 增强扫描病变明显不均匀强化

图 3 另一病例,肾血管造影显示右肾上级略低密度病变,动脉血管呈不规则扭曲、扩张,分布不均匀

2.2.2 CT 表现 本组病例均行 CT 检查。肾脏 AML 典型表现为占位性病变中存在脂肪组织。以病变中含脂肪组织 $\geq 50\%$ (综合评价) 为多脂肪 AML , 本组 48 例 (73%) 。 $< 50\%$ 为少脂肪 AML 本组 18 例 (27%) 。脂肪组织 CT 值为负值, 一般在 -15 ~ -120Hu , 肿瘤内平滑肌、血管成分呈软组织密度, CT 值在 25 ~ 45 Hu 。增强扫描脂肪成分无明显强化, 平滑肌、血管组织强化明显, CT 值可提高 20 ~ 80 Hu 。延迟扫描密度较肾实质减低。本组 CT 征象典型 60 例, 经薄扫及螺旋薄层重建后明确诊断 4 例, 难以与小肾癌鉴别 2 例, 后经手术病理证实 (图 1 2)。 3 例自发性出血 2 例为肿瘤内, 1 例肿瘤内出血破入肾被膜下。

2.3 MRI 本组 AML 14 例行 MRI 检查, 其中 13 例脂肪组织信号典型, 诊断明确。 1 例因瘤体较小且含脂肪组织较少, 缺乏可靠征象, 未能明确诊断。 AML 由于含有脂肪组织, 在 T1WI 像上可显示高信号, T2WI 像上出现较高信号, T1WI 和 T2WI 脂肪抑制像上, 脂肪信号明显减低。在 AML 中根据脂肪量的不同, T1WI 及 T2WI 像上多呈混杂信号。 AML 中平滑肌和血管组织在 T1WI 及 T2WI 像上显示较低或中等信号。增强加压脂扫描, 肿瘤内实质部分可不均匀强化。

2.4 血管造影 多数 AML 结合典型 B 超及 CT 扫描征象即可诊断, 很少应用血管造影检查。对较大 AML 需手术治疗或较小病变但含脂肪组织较少及其他检查征象不典型, 难与其他肾肿瘤鉴别者行血管造影。本组 10 例选择性肾动脉造影, 均显示病变中扭曲、扩张血管 (图 3)。部分较小 AML 病灶不规则扩张血管较多, 血流可很丰富。在实质期病变密度低于肾实质。

3 讨论

3.1 AML 又称肾错构瘤 (Hamartoma), 是肾脏较为常见的良性肿瘤样病变。 Eble 指出在成年人约占 13/ 万^[1] 。多发于女性, 男 / 女之比约 1 : 4 , 由于多数患者无自觉临床症状, 常为体检发现, 如本组 64 例中, 常规体检或因其他疾病检查发现 42 例 (64%) 。部分患者可有腰部不适、疼痛, 本组 24 例 (36%) , 其中镜下血尿 4 例 (6%) , 肿瘤自发性出血 3 例 (5%) , 出血可破入肾被膜下和 / 或肾周间隙。

3.2 AML 病理组织学特点 AML 主要由平滑肌、血管和成熟脂肪组织构成, 病变内血管丰富, 但血管不成熟, 呈现为不规则扭曲、扩张动脉瘤样。以 AML 内含脂肪量的多少, 分

为多脂肪型 ($\geq 50\%$) 和少脂肪型 ($< 50\%$) 。较小 AML ($< 2\text{cm}$) 多位于肾皮质或部分突出于肾被膜下生长, 本组占 41 例 (64%) 。病变可单发或单肾多发及双肾多发。本组分别占 44 例、 10 例、 12 例。

3.3 影像学检查的作用及限度

3.3.1 IVP 检查 以往文献多提出 AML 在 IVP 检查中, 除瘤体较大可压迫肾盏和肾盂移位变形外, 无更多阳性征象。笔者认为如 AML 瘤体较大 ($> 4\text{ cm}$), 肿瘤含脂肪组织较多 ($> 50\%$), IVP 肾实质期多可显示肾内或突出肾外较低密度病变影, 本组单发 AML $\geq 5\text{ cm}$ 的 6 例中, 3 例 IVP 检查 2 例多脂肪病灶均发现此表现。此征象很少见有报道。

3.3.2 CT 检查 CT 被认为是诊断 AML 最敏感可靠的检查方法。由于 AML 含脂肪组织, CT 值在 -10 ~ -120Hu 之间, 增强扫描肿瘤内血管平滑肌组织可明显强化, 脂肪组织无强化。根据典型征象, 多数 AML 可做出诊断。值得提出的是, 部分较小且位于肾被膜下的瘤体因含脂肪较多, 常规软组织窗常易于遗漏, 当可疑 AML 时, 适当降低窗位及增加窗宽, 可使病变易于显示。而含脂肪少 AML, 薄层 ($2 \sim 3\text{ mm}$) 扫描或螺旋扫描薄层重建至关重要, 减少容积效应影响, 以便于发现少量脂肪的存在。值得提出的是, 部分含脂肪少 AML 在 CT 平扫可表现为高于肾实质密度, 此征象在肾癌中不易出现^[2,3]。本组 5 例根据此征象作出诊断。亦有少数 AML 含脂肪组织很少, CT 上难以与肾癌鉴别, 结合 B 超和 MRI 可帮助鉴别。本组中有 2 例 AML, 由于瘤体较小, CT 征象不典型, 未能显示明确脂肪组织, B 超虽呈较高回声, 但肿瘤内血流丰富, 难以排除肾癌, 后由手术病理得以证实 (图 4)。

3.3.3 MRI 检查 本组 14 例行 MRI 检查, 其中 4 例 CT 扫描病变内未能发现或可疑脂肪组织。MRI 对脂肪组织敏感。 AML 中脂肪组织在 T1WI 呈明显高信号, T2WI 呈中等或较高信号 (图 5 6)。在脂肪抑制扫描中, 脂肪信号明显衰减, 易于与其他短 T1 病变如出血、黑色素瘤以及小肾癌坏死区等鉴别。

3.3.4 血管造影 典型血管瘤一般 CT 结合 B 超检查多可以作出明确诊断。少数少脂肪或较大 AML 术前了解血供情况行血管造影。本组 10 例 AML 血管造影, 其中 3 例较小病变 ($< 3\text{ mm}$), 因 B 超提示病灶内血流丰富, CT 扫描病变脂肪成分较少, 难以排除小肾癌而行血管造影。由于 AML 血管

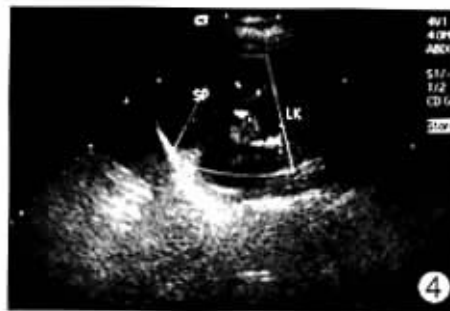


图 4 彩超显示病灶为高回声, 血流信号丰富

图 5 MRI T1WI 左肾病灶呈高低混杂信号, 以高信号为主

图 6 MRI T2WI 左肾病灶亦呈高低混杂信号

丰富, 血管造影肿瘤内常显示血管粗细不均匀, 动脉期不规则扩张血管常呈葡萄样, 单从血管造影征象有时难以与肾癌鉴别。本组 2 例小 AML, 各种影像学检查均不能完全排除肾癌, 后由手术病理证实。

3.3.5 AML 与结节性硬化的关系 AML 根据病变发病年龄、病变分布特点、有无合并结节性硬化(tuberous sclerosis), 将其分为两型:I 型主要发生于青少年, 病变较小, 多累及双侧肾脏, 无明显性别差异, 常合并结节性硬化, 可占 40%~80%。II 型多发生于中年, 女多于男, 病变较大, 常单发, 不合并结节性硬化。本组未发现合并结节性硬化患者, 可能与本组多为成年患者, 且多为体检发现有关。

3.3.6 AML 出血的关系 **AML 自发性出血**作为急腹症之一文献已有不少报道^[4,5]。可表现为肿瘤内或破入肾被膜下。本组 2 例 AML 出血均无明显诱因出现腰部不适, 肾区疼痛。超声检查发现肾占位, 其中一例诊断合并肿瘤出血。CT 扫描肿瘤内出血显示肿瘤内不均匀密度增高, 内见低密度脂肪区。增强扫描肿瘤内出血区及脂肪组织区无强化。另一例肿瘤内局限性出血, 破入肾被膜下形成沿肾边缘带状密度增高影。肿瘤内脂肪组织的存在是诊断 AML 主要依据。

3.3.7 超声诊断 AML 的意义 多数 AML 由于含较多量脂肪组织可表现为强回声、中强回声(图 4)。由于 AML 含血管、平滑肌及脂肪组织三种成分, 其内回声多不均匀。而部分小肾癌亦可表现为强或中强回声, 观察病变内血流情况及有无坏死区是主要鉴别点。本组 2 例小 AML 超声显示丰富血流而难以与肾癌鉴别, 后由手术病理证实。血流丰富及/或内见坏死区更有助于肾癌的诊断^[6,7]。Zebedin 等^[8]指出: 肾脏肿瘤超声显示低回声环及内见囊性坏死区表现仅见于肾癌。本组 AML 无一例显示此征象。

3.3.8 影像学检查方法对 AML 诊断作用比较 由于 AML 含脂肪组织及血管、平滑肌组织, 超声检查常显示高回声, 可提示 AML, 文献多提出可作为首选检查方法。但 CT 检查尤其是薄层扫描或螺旋 CT 薄层重建对肾 AML 内脂肪组织有很高

的敏感性, 可明确作出定性诊断。近年来, MRI 在肾 AML 诊断中应用逐渐增多。由于多种快速扫描序列及脂肪抑制技术应用, 对肿瘤内少量脂肪的显示, 起到重要的鉴别诊断作用。综合各种影像学检查方法, 笔者认为, 如 B 超提示或怀疑 AML 以及临床可疑 AML, 应首选 CT 扫描多可得以确诊。但充分认识 AML 在各种影像检查中的特点, 结合多种影像学检查, 无疑会增加 AML 诊断的准确率。

[参考文献]

- [1] Eble JN. Angiomyolipoma of kidney[J]. Semin Diagn Pathol, 1998, 15(1): 21-40.
- [2] Jinzaki M, Tanimoto A, Narimatsu Y, et al. Angiomyolipoma: imaging findings in lesions with minimal fat[J]. Radiology, 1997, 205(2): 497-502.
- [3] Yamamoto S, Nakamura K, Kawanama S, et al. renal angiomyolipoma: evolutional changes of its internal structure on CT[J]. Abdom Imaging, 2000, 25(6): 651-654.
- [4] Wolff JM, Jung PK, Adam G, et al. Spontaneous retroperitoneal haemorrhage associated renal disease[J]. J R Coll Surg Edinb, 1998, 43(1): 53-56.
- [5] Yip KH, Peh WC, Tam PC. Spontaneous rupture of renal tumors: the role of imaging in diagnosis and management[J]. Br J Radiol, 1998, 71(842): 146-154.
- [6] Siegel CL, Middleton WD, Teefey SA, et al. Angiomyolipoma and renal cell carcinoma: US differentiation[J]. Radiology, 1996, 198(3): 789-793.
- [7] Forman HP, Middleton WD, Melson GL, et al. Hyperechoic renal cell carcinomas: increase in detection at US[J]. Radiology, 1993, 188(2): 431-434.
- [8] Zebedin D, Kammerhuber F, Uggowitz MM, et al. Criteria for ultrasound differentiation of small angiomyolipoma (< or = 3 cm) and renal cell carcinoma[J]. Rofo Fortschr Geb Rontgenstr Neuen Bildgeb Verfahr, 1998, 169(6): 627-632.

肾血管平滑肌脂肪瘤影像学诊断及鉴别

作者: 王田力, 于书奎, 谭劲挺

作者单位: 王田力(北京大学第三医院放射科, 北京, 100083), 于书奎(内蒙古宁城县医院放射科), 谭劲挺(广西环江县医院放射科)

刊名: 中国医学影像技术 [ISTIC PKU]

英文刊名: CHINESE JOURNAL OF MEDICAL IMAGING TECHNOLOGY

年, 卷(期): 2004, 20(1)

被引用次数: 22次

参考文献(8条)

1. Eble JN Angiomyolipoma of kidney [外文期刊] 1998(01)
2. Jinzaki M;Tanimoto A;Narimatsu Y Angiomyolipoma:imaging findings in lesions with minimal fat [外文期刊] 1997(02)
3. Yamamoto S;Nakamura K;Kawanama S renal angiomyolipoma: evolutional changes of its internal structure on CT [外文期刊] 2000(06)
4. Wolff JM;Jung PK;Adam G Spontaneous retroperitoneal haemorrhage associated renal disease 1998(01)
5. Yip KH;Peh WC;Tam PC Spontaneous rupture of renal tumors:the role of imaging in diagnosis and management 1998(71)
6. Siegel CL;Middleton WD;Teefey SA Angiomyolipoma and renal cell carcinoma: US differentiation 1996(03)
7. Forman HP;Middleton WD;Melson GL Hyperechoic renal cell carcinomas: increase in detection at US 1993(02)
8. Zebedin D;Kammerhuber F;Uggowitz MM Criteria for ultrasoundsdifferentiationofsmall angiomyolipoma(《or=3 cm and renal cell carcinoma 1998

本文读者也读过(10条)

1. 朱捷. 刘荣波. 周翔平. 武志峰. 卢春燕. 王娜. ZHU Jie. LIU Rong-bo. ZHOU Xiang-ping. WU Zhi-feng. LU Chun-yan. WANG Na 肾血管平滑肌脂肪瘤与肾癌的CT鉴别诊断 [期刊论文]-四川大学学报(医学版) 2005, 36(2)
2. 余田. 许乙凯. 贾飞鸽. YU Tian. XU Yikai. JIA Feige 肾血管平滑肌脂肪瘤的CT诊断及误诊分析 [期刊论文]-临床放射学杂志 2008, 27(10)
3. 谢文琪. 刘建平 肾血管平滑肌脂肪瘤的诊治(附24例报告) [期刊论文]-中国现代医学杂志 2003, 13(12)
4. 卢晓玲. 丁建国. 王培军. LU Xiaoling. DINg Jianguo. WANG Peijun 乏脂肪性肾血管平滑肌脂肪瘤的CT与MRI表现 [期刊论文]-临床放射学杂志 2008, 27(3)
5. 肖树恺. 韦日宇. 宋昌磷. 杨广夫 肾血管平滑肌脂肪瘤影像诊断 [期刊论文]-中国CT和MRI杂志 2004, 2(4)
6. 祖雄兵. 梁朝朝. 齐琳. 申鹏飞. 叶章群. 周四维 肾血管平滑肌脂肪瘤的影像学特征与术式选择 [期刊论文]-临床泌尿外科杂志 2004, 19(10)
7. 郁成. 陈永强. 罗泽斌. YU Cheng. CHEN Yongqiang. LUO Zebin 乏脂肪肾血管平滑肌脂肪瘤与肾细胞癌的CT鉴别诊断 [期刊论文]-临床放射学杂志 2007, 26(11)
8. 何志嵩. 张晓春. 周利群. 杨勇. 金杰. 郝金瑞. 潘柏年. 那彦群. 薛兆英. 郭应禄 肾血管平滑肌脂肪瘤的诊断与治疗(附72例报告) [期刊论文]-中华泌尿外科杂志 2002, 23(3)
9. 孔令波. 孙立江. 李延江. 杨学成. 张桂铭 容易误诊的含微量脂肪的肾血管平滑肌脂肪瘤诊治分析 [期刊论文]-中国综合临床 2007, 23(12)
10. 关超. 常睿. 张青川. 王成勇. GUAN Chao. CHANG Rui. ZHANG Qing-chuan. WANG Cheng-yong 不典型肾血管平滑肌脂肪瘤临床诊治分析 [期刊论文]-解剖与临床 2009, 14(6)

引证文献(22条)

1. 李绍科. 杨学东. 于华龙. 孙磊. 王燕. 张传玉 误诊为肾细胞癌的少脂肪型肾脏血管平滑肌脂肪瘤的CT表现[期刊论文]-中国医学影像技术 2011(9)
2. 傅宁华. 杨斌. 刘萍. 孟庆欣. 段晓艳. 沈德娟 超声造影对肾良恶性占位病变的鉴别诊断[期刊论文]-中华超声影像学杂志 2007(10)
3. 张著猛. 朱向会 CT诊断肾脏巨大血管平滑肌脂肪瘤1例[期刊论文]-西南国防医药 2010(7)
4. 李伟东. 张春志. 马银华. 徐明权 肾血管平滑肌脂肪瘤影像学诊断和治疗[期刊论文]-中国民康医学 2010(20)
5. 纪晓惠. 乔治斌. 韩若凌. 王士杰 SonoVue实时超声造影在肾脏占位性病变中的应用[期刊论文]-中国医疗设备 2008(9)
6. 马银华 结节性硬化症的颅脑及肾脏影像学表现与治疗[期刊论文]-罕少见病杂志 2011(1)
7. 刘清红 肾血管平滑肌脂肪瘤影像学诊断的研究进展[期刊论文]-实用临床医学 2010(8)
8. 杨斌. 傅宁华. 沈德娟. 孟庆欣. 段晓艳. 刘萍 肾肿瘤的超声造影研究[期刊论文]-中华超声影像学杂志 2007(7)
9. 余劲松 右肾血管平滑肌脂肪瘤超声误诊1例[期刊论文]-广西医学 2005(6)
10. 黄维明 肾细胞癌76例螺旋CT诊断分析[期刊论文]-中国误诊学杂志 2011(13)
11. 凡平林 CT诊断肾巨大外生性血管平滑肌脂肪瘤一例[期刊论文]-影像诊断与介入放射学 2011(2)
12. 杨晓静 肾细胞癌的螺旋CT诊断[期刊论文]-医学信息(下旬刊) 2009(7)
13. 杜紫雷. 杨晓静. 原小军 CT多期增强扫描在肾细胞癌诊断中的应用[期刊论文]-医学信息(手术学分册) 2007(12)
14. 戴宇平. 王飞. 梁月有. 孙祥宙. 郑伏甫. 罗道升 腹膜后肾外血管平滑肌脂肪瘤的诊断与治疗[期刊论文]-中华泌尿外科杂志 2007(10)
15. 李钧. 周晓东. 罗二平. 韩增辉. 张民. 郑敏娟. 王莉 实时超声造影诊断肾脏肿瘤的应用研究[期刊论文]-中国医学影像技术 2006(4)
16. 兰海涛. 邓春美. 刘浩 腹膜后肾外血管平滑肌脂肪瘤1例及文献复习[期刊论文]-肿瘤防治研究 2005(3)
17. 石尖兵. 何云. 李智贤. 王曦曦. 欧华林. 陈习仲. 易玲 肾脏占位性病变超声造影时间-强度曲线的初步探讨[期刊论文]-中国超声医学杂志 2008(5)
18. 沈德娟. 杨斌 超声造影在肾肿瘤中的应用及进展[期刊论文]-中华超声影像学杂志 2007(9)
19. 李钧. 周晓东. 罗二平. 陈定章. 赵树杰. 朱永胜. 贺建国 超声造影鉴别肾柱肥大与肾脏肿瘤的价值[期刊论文]-中国超声医学杂志 2006(4)
20. 王勤 肾血管平滑肌脂肪瘤影像学诊断[期刊论文]-中国医学影像技术 2008(12)
21. 王建国 实时超声造影在肾脏肿瘤诊断中的研究现状[期刊论文]-河北北方学院学报(医学版) 2009(1)
22. 李钧 实时超声造影诊断肾脏肿瘤的应用研究[学位论文]硕士 2006

本文链接: http://d.wanfangdata.com.cn/Periodical_zgyyxjs200401038.aspx